



第三、四合輯

氮素工业 经验交流汇编

苏联化学工业部

氮素工业管理局氮素工业研究設計院 编

化学工业出版社

氮素工业經驗交流汇編

第三、四合輯

蘇聯化學工業部

氮素工業管理局氮素工業研究設計院 編

編輯委員會：

A. И. 魏卡維什尼科夫（主編）

A. И. 謝輔佐夫（副主編）

H. A. 西姆林

Ф. Г. 伊瓦諾夫斯基（副主編）

A. Я. 克列依斯別爾格

上海化工研究院第七研究室 譯

化学工业出版社

氮素工业经验交流汇编是苏联化学工业部氮素工业管理局国立氮素工业研究设计院收集了世界各国(主要是苏联)氮素工业企业、研究机构的经
验整理汇编而成，在苏联分辑发行。我们鉴于这套汇编内容很好，许多经验对于我国各氮素工业企业、研究机构，以及与氮素工业有关的化工企业、
研究机构有重要的参考价值，因此决定逐辑翻译出版。

本书为汇编的第三、四合辑，收集了苏联氮素工业企业有关生产的强
化、合理化、自动化和生产控制、设备防腐蚀等的经验和详述性文章共
37篇。

本书可供各氮素工业企业、研究机构及有关部门的技术人员和工人
阅读。

МХИ СССР

ГЛАВА ЗОТ ГИАП

БЮЛЛЕТЕНЬ

ПО ОБМЕНУ ОПЫТОМ

В АЗОТНОЙ ПРОМЫШЛЕННОСТИ

№ 3—4

ГОСХИМИЗДАТ(МОСКВА·1957)

氮素工业经验交流汇编

第三、四合辑

上海化工研究院第七研究室 譯

书号：(内) 302

定价：0.89元

化学工业出版社(北京安定门外和平北路)出版

北京市书刊出版业营业登记证003号

化学工业出版社印刷厂印刷 内部发行

1960年4月第1版

1960年4月第1版第1次印刷

开本：850×1168 1/32

字数：141千字

印张：5 16/32

印数：3000

目 录

生产的强化和合理化

氟化熔合物电炉炉槽的改进	5
二段式一氧化碳变换器的改进	8
空分室生产能力的提高	12

气体的净化

硫酸生产废气在无填充物吸收器内的净化	16
用石灰乳吸收亚硝尾气中的氮氧化物	20
制取二氧化碳用膨胀气的接触净化	23
焦炉气分离装置及空气分离装置中的素瓷过滤器	28

合成氨用催化剂

工业条件下合成氨铁催化剂的还原	30
-----------------	----

肥肥的生产

在真空蒸发器中利用反应热的中和装置的试验	40
----------------------	----

产品质最的改善

降低粒状硝酸铵温度的方法	55
氧化甲醇中的杂质所用高锰酸钾溶液浓度的改变	61

原料及产品损失的减少

新型分离器结构	66
供热站排出气热的利用	67

设备的防腐蚀

高压管道及总管上垫圈的腐蚀	69
金属的防腐蚀	72
一羟乙基胺(一乙醇胺)洗涤装置设备腐蚀试验	76

仪表的防腐蚀	78
直接合成浓硝酸生产中的技术革新	80
烟化塔内表面的防腐蚀	83

生产的自动化和控制

关于生产自动化的若干問題	86
选取硝酸銨平均試样用的自動取样器	87
新型量尘器	88
尿素生产废气中氮及尿素的快速测定法	94
鉛渣中鈷含量的比色測定法	96
縫袋机自动切綫裝置	98
物理化学分析法的应用	100
污水中苯及氯苯含量的測定	102
水中溶解氧的比色測定法	107
硝酸鈣及硝酸銨溶液中硫酸根离子的共同沉淀脫除法	112
RPM硝酸銨各組份对基本物质測定的影响	123
石灰石中镁的快速絡合滴定法測定	124
合成氨催化剂中 Al_2O_3 含量的容量測定法	120

设备修理

设备的集中修理	129
車制高压垫圈球形表面的回轉裝置	131
气体压缩机冷却器組的制造	134

述評

稀硝酸生产现状	137
甲醇合成过程的強化	158

生产的强化和合理化

氯化熔合物电爐爐槽的改进

Л. А. 阿赫納扎羅夫、А. Р. 麥利克-阿加米良

Г. А. 彼特羅夏恩

(基洛瓦坎化學聯合工廠)

基洛瓦坎化学联合工厂使用单相电炉制取氯化熔合物。这种单相电炉是一种锥形炉，上部有悬垂电极，下部电极固定在炉底上（图1），在接触板7（鑄鐵板）的下部接入八块鋼制母綫（尺寸70×8毫米），母綫連接在变压器上。接触板四周边緣緊貼炉底。下部碳极5位于炉底上，上面有一层石墨4，作为电炉中导电的坩埚底。

电流通过一系列电阻接触层时要損耗大量电能，因此这样供电不能令人滿意。笨重的鑄鐵板受高溫影响而变弯，同时接触元件接头的完整性受到破坏，接触层的电阻亦随之增加，鑄鐵板及焊接在板上的母綫被烧得赤热。結果氯化物炉就不能有节奏地操作。

根据对炉子检查的資料，А. Р. 麥利克-阿加米良、Л. А. 阿赫納扎羅夫、Г. А. 彼特羅夏恩、Г. М. 阿加巴尼亞恩和С. М. 阿伊瓦賈恩建議修改氯化物炉的结构。

丁形混凝土基脚(图中未示出)用四个耐火砖砌成的砖柱代替。这个措施改善了炉底和触头的冷却，而且也便于检查和修理炉下部通电的各个零件。

以前由几个部分組成的碳极，现在用电阻系数为9~10歐姆·毫米²/米的完整石墨电极5(直径300毫米，长1620毫米)代替。电极系垂直安装。

炉底的絕热大大加强了。

改进后的电炉簡图如图2所示。

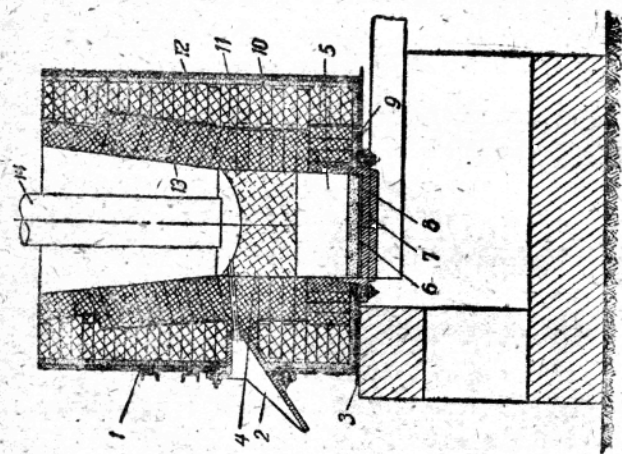


图 1 制取氯化铝合物的电炉(改进前)
 1—炉外壳；2—出口；3—炉外壳底；4—石墨层；5—一下部电极；
 6—耐火砖；7—石墨粉；8—铁质板；9—铜棒；10—绝缘层；
 11—镁砂；12—石棉；13—耐火粘土砖；14—镁砖；15—上部电极

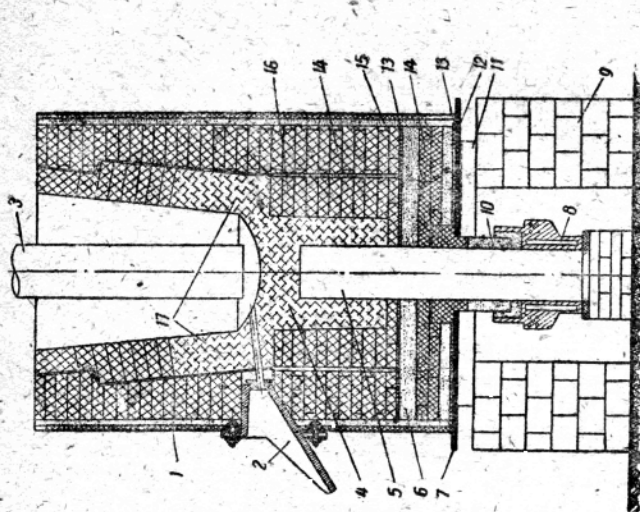


图 2 制取氯化铝合物的电炉(改进后)
 1—炉外壳；2—出口；3—上部电极；4—石墨层；5—一下部电极；
 6—耐火砖；7—石墨粉；8—铁质板；9—铜棒；10—耐火粘土粉；
 11—耐火粘土砖；12—耐火粘土粉；13—石棉；
 14—耐火粘土砖；15—镁砂层；16—镁砖；17—长方形碳砖

同时将炉外壳的高度由2010毫米增高到2440毫米。这样可加强炉子上部的热绝缘。

炉底板上焊接直径420毫米、高325毫米、厚2~3毫米的密封环。

密封环的下部凸缘插入接触环的环形空间。严格垂直安装的下部电极5穿过密封环通入炉中，并形成2~3毫米的间隙。下部接触环与密封环之间的空间充填粒度为0.75~1.0毫米的干燥砂，这样便形成砂封，使空气不得透入炉内。因此炉底的热腐蚀现象就停止了。与改进前的炉底温度600°C相比较，底板温度降低到了150°C。离底板5厘米处的冷却空气的温度介于80~90°C。

由于采用各种热绝缘材料，炉底的结构也改变了。兹将这些材料的规格列于下表。

绝热材料的规格

材料	层厚(毫米)	导热系数 (千卡 (米·小时·°C))	热阻力 (米·小时·°C) (千卡)	热阻抗倍数	各层接头处的温度 (°C)
石墨	710	45.0	0.155	2.82	—
耐火粘土砖	65	0.82	0.080	1.45	1345
石棉	10	0.18	0.055	1.00	1290
炭黑	100	0.082	1.250	22.5	1260
耐火粘土砖	130	0.82	0.160	2.82	425
磨碎的耐火粘土	20	0.144	0.140	2.54	320
石棉	20	0.18	0.110	2.00	230
铁制底板	10	79.20	—	—	150

根据计算确定，炉底炭黑层中的温度降最大。

堵墙高约570毫米的一段用长方形厚碳砖砌面，以防止原来的炉槽结构中所产生的那种炉壁或炉底被液体熔合物烧穿的现象。

改进后电炉的生产能力比原来电炉的生产能力提高了16~17%。

用新的结构来解决单相电炉底部供电问题，可适用于这一类型的各种高温生产(碳化钙、磷等)用电炉。

二段式一氧化碳变换器的改进

C.I. 法尔别尔, C.M. 柯罗菲莫夫

(奇爾奇克電化聯合工廠)

一氧化碳变换工序用的半水煤气，可用下列两法制取：

- 1) 用富氧空气气化焦炭；
- 2) 用ГИАП《沸腾》层煤气发生炉气化褐煤。

半水煤气在連續供給蒸汽及富氧空气的情况下制取。

用焦炭及煤制得的半水煤气中，一氧化碳和氢的含量可能各不相同，取决于干吹风气中的氧含量：氧含量保持的范围以保証氮合成时正常所需的氮量为准。

奇爾奇克电化联合工厂的半水煤气中各组分的浓度介于下列范围(以%計)：

CO_2	15~18	CO	33~37
H_2	32~36	N_2	12~18
CH_4	0.5以内		

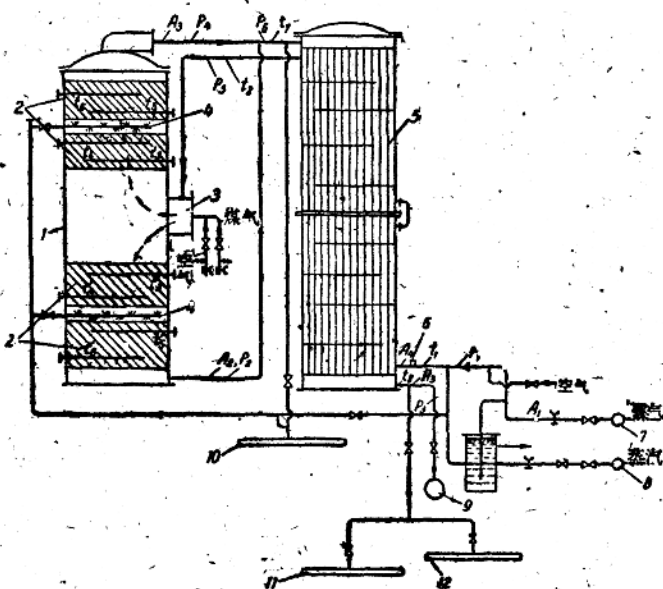
硫化氢含量为0.2毫克/升。

送去一氧化碳变换工序的半水煤气的成分与其他各氮素工厂所得的气体成分大不相同。半水煤气在变换前不进行脱硫。因此可采用高温催化剂，蒸汽和煤气的比例为2.0~2.5。但由于硫化氢含量偏高，因而能使催化剂受到显著的中毒，结果催化剂的活性降低，机械强度减小而生成许多粉尘。

由于有大量粉尘产生，且进入变换器的蒸汽-煤气混合气中蒸汽的含量高，所以在气体的通道中形成了很大的阻力。因此难于提高混合气量，因为煤气鼓风机所产生的压力不足以克服变换系统的阻力。

要提高蒸汽-煤气混合气量，必须减小变换系统的阻力，主要是减小低生产能力的二段式变换器的阻力。为此，建議改进二段式变换器，使得既能保持二段式变换工艺的优点，又能减小变换器的阻力。

改进后的变换系統簡图如下所示。



改进后的二段式一氧化碳变换系統簡图

1—变换器；2—催化剂格板；3—燃烧室；4—通入蒸汽的多孔管；
5—热交换器；6—检查孔；7—煤气鼓风机压送总管；8和10—蒸
汽总管；9—变换气总管；11、12—排气总管；
 $t_1 \sim t_5$ —温度测量点； $A_1 \sim A_5$ —分析用气体取样点； $P_1 \sim P_6$ —压力测量点

变换器1的中部配置一段式变换器形式的燃烧室3，气体经过燃烧室通入变换器。气体入口上方及下方各安装两块放催化剂的格板2上。板上催化剂层高650~700毫米。

格板之間安装多孔管4， 经过多孔管通入蒸汽以便将气体在进入变换器第二段之前进行冷却。

带有花瓣填料及冷凝液供给管的蒸发器已被取消。变换器的直径为3000毫米，高9965毫米。

自压送总管出来的原料气经过管道及閥門（直径800毫米）进入热交换器5的管际空间。自总管出来的蒸汽通过两閥（关闭閥及調

节閥)經支管(直径200毫米)也进入同一管道。

热交换器系管状，其加热表面为 1775米^2 ，直径为2200毫米，高11200毫米，热交换管直径为 $25/2$ 毫米。热交换器由上下两部构成，上半部安置在下半部的上面并用弯管联结。

蒸汽-煤气混合气在热交换器5内被排出的变换气加热到 $400\sim420^\circ\text{C}$ 后，沿管子(直径800毫米)通过燃烧室3进入变换器1的中部，在这里大致分成两路相等的气流。一路通向上部第一块(按气体行程)催化剂板，另一路则通向下部第一块(按气体行程)催化剂板(变换器的第一段)。自这两块催化剂板上出来的气体(温度 $550\sim580^\circ\text{C}$)在通向下两块催化剂板(变换器的第二段)前，用沿总管(直径100毫米)送来的蒸汽冷却。蒸汽排出支管的直径为75毫米。蒸汽总管上安装一只总开关(直径100毫米)，而直接在变换器进口处分别在两根支管上安装两只开关(直径各为75毫米)。

蒸汽-煤气混合气在通向下两块催化剂板(按气体行程)前被补充供给的蒸汽冷却到 $480\sim520^\circ\text{C}$ 。

第二段变换后出来的变换气经支管(直径800毫米)进入一个总管道(直径亦为800毫米)，然后沿管道(直径800毫米)通过热交换器的管内空间(气体温度此时已降低到 $180\sim200^\circ\text{C}$)再进入总管9(直径1000毫米)。

在热交换器的变换气出口处安装一只关闭阀(直径800毫米)。热交换器的管内空间与两只排气总管11和12相通，其中一只用来在以燃烧室进行变换器升温操作时造成真空。热交换器装有尾部喷射器。

使用燃烧室，可以提高进入变换器的煤气温度。

煤气用鼓风机(管道直径100毫米)送入燃烧室，同时在压送线上装有调节阀。空气自稀硝酸车间透平压缩机工段送入燃烧室或用变换工段安装的压缩机压入燃烧室。

为了测量流量，安装了蒸汽-煤气混合气流量计、测量进入热交换器的蒸汽的流量计和测量空气及气体的差示压力计。

温度用两只电位计测量。测温点的分布如图所示。

气体管道各点的压力用单管式水银压力计或U形水银压力计测

量。取样及观察过程数据用的各点的位置如工艺流程图所示（见第×頁簡圖）。

上述结构变换器的流体阻力不大，若煤气鼓风机压送总管中的最初压力为180~220毫米水银柱，则每小时可通入蒸汽-煤气混合气（蒸汽：煤气=1:1）达15000米³，换算成半水煤气为每小时7000~7500米³。这时空速每小时达350米³/米²催化剂·小时。

变换器中装入25~26吨高温铁-镁催化剂。

当半水煤气中一氧化碳的最初浓度等于34~36%时，变换气中残留的一氧化碳含量不超过5%，即介于本工厂所规定的标准的范围内。

茲将变换系統操作的每昼夜平均数据列于下表。

一氧化碳变换系統的操作数据*

蒸气-煤气混合气量 (米 ³ /小时)	测温点 温度 (°C)												变换系 统进口 处蒸 气的含 量 (%)	变换系 统出口 处蒸 气与煤 气的比 例 (%)	饱和 湿度 (°C)	
	t ₁	t ₂	t ₃	t ₄	t ₅	t ₆	t _{3'}	t _{1'}	t _{3'}	t _{5'}	t ₇	t ₈				
12000	50	470	465	510	490	505	450	517	485	515	505	215	4	2.3	87	78

*表中未列出系統中的压力，因为安装时某些测量点用的支管焊接得不好。

可见，变换系統操作时的气量为6500米³/小时半水煤气，或12000米³/小时蒸气-煤气混合气（煤气鼓风机后）。但这不是最高的生产能力。有几个月，变换系統操作时的气量为15000米³/小时蒸汽-煤气混合气。不过曾经发生了《沸腾》现象，并且上部第一块板（按气体行程）上的催化剂发生了移动，因此后来把系統的最高生产能力限定为12000米³/小时。

第一段变换出口处的催化剂层温度（测温点t₄和t_{4'}）保持在510~517°C水平上，而第二段进口前（测温点t₅和t_{5'}）的温度由于通入蒸汽降到490~485°C。第二段变换后（测温点t₆和t_{6'}）出口处的催化剂温度又升高，通过改变催化剂板之間的蒸汽供給量而保持

在 $505\sim510^{\circ}\text{C}$ 范围内。

变换器在上述条件下操作时变换气中一氧化碳的平均含量为4%，这时蒸汽与煤气的比例保持在2.3的水平上。

就奇尔奇克电化联合工厂的条件而言，变换系统的操作指标良好。

安装一只新结构变换器并改进其他各二段式变换器后，变换工段的生产能力提高了21%。

空分室生产能力的提高

П.А.莫日阿拉

奇爾奇克電化聯合工廠

本厂对扩大Г-6800空分室生产能力及在制取纯氮时提高氧浓度采取了一系列措施。

为了提高氧的含量，将上部分馏塔增高了一节塔圈，而塔板数由原有的36块增加到45块。蒸馏液不是按原设计送到第11块塔板上，而是送至第20块塔板上。此外，还附带从第14块塔板上提取氩馏份。

这个措施使得在制取纯氮时能将氧的浓度提高到96~97%。

其次，改变了氩馏份的排出地点；氩馏份的提取在第16块塔板上进行。这样氧浓度更增高到97~98%，而氩馏份中氧的含量从60%降到40%。

这种制取高浓度氧的空分室直到现在还在使用。

在提取氩馏份时发生了如何利用排出馏份冷能的问题。排出的氩馏份通到与锚式热交换器的氮分馏段。必要时可转换氮分馏段的开关。为了充分利用氩馏份的冷能，在氧热交换器前又安装了一只热交换器。

在设备内离主外套300毫米的地方安装了一个屋面钢板制的副外套，主、副外套之间的空隙中充填矿渣棉。上塔再用以石棉布及矿

渣棉制成的矿棉席保温。这样，便改善了设备的保温情况。

这样保温的空分室使用了五年。但由于保温不完善，发现有冷能损耗，使外套周围冻结。因此就用矿渣棉填塞满整个空分室，结果减少了冷能损耗。

有一个空分室中安装了一只《热路》热交换器以代替《冷路》热交换器。这样便消除了因 CO_2 进入并冷凝而使空分室阻力增加的可能性。

贯彻这一措施以及下面介绍的其他各个措施，能使设备修理间隔的使用期限从2160小时延长到2880小时。

每个设备上安装了二只乙炔吸附器；以硅胶作吸附剂。二只吸附器轮流操作，每15天更换一次。这样既保证能清除乙炔，又延长了空分室的操作期限，因为吸附器也能吸附一部分油。

操作过程中有吸附器过早断开的现象，这是由于吸附器中采用的各批硅胶因粉碎而提高了阻力之故。因此须研究用铝胶代替硅胶的问题。

目前《热路》热交换器的氮气进口处的管道已改变成使封闭阀可安装在管道上；而不直接安装在热交换器的器体上。这样可以使《热路》热交换器在操作时不必停机而进行修理。

1949年试验了一个上塔压力增至0.75大气压的空分室。

试验表明，氮产量提高了。但由于主要冷凝器中的压力增高，冷能平衡受到一些破坏，结果使生产过程的条件不得稳定。

由于下塔中空气未全部冷凝，部分气体进入上塔，因而下塔蒸发器槽中的液面不能保持一定。高压空气蛇形管是裸露的，所以节流阀前的蛇形管不能冷却。同时，当部分气体随液体从下塔蒸馏釜加入上塔时，便破坏了分馏条件。这种情况常常使氮不纯。

空分室按原流程（排出氩馏份以制取高浓度氧）进行操作时，氮产量每小时要低200米³。

表1列出制取高浓度氧时空分室的生产率数据。

为了提高氮产量（操作时排出氩馏份），安装了一根辅助连接管，以便将气态氮从气道（连接主要冷凝器及辅助冷凝器）送入冷路氮气进口线路。这时所获得的氮量增加了，因而补偿了不用这种

空分室按原流程操作的指标

表 1

按N ₂ 計生产能力 (米 ³ /小时)	压 力 (大气压)			N ₂ 中O ₂ 的含 量 (厘米 ³ /米 ³)	鑄式热交换器中O ₂ 的浓度 (%)
	下 塔 中	主要冷凝器中	輔助冷凝器中		
排出氮馏份					
4309 ^t	6.2	0.62	0.62	1060	97.5
4309	6.2	0.60	0.60	875	97.5
4309	6.2	0.60	0.60	583	97.5
4514	6.2	0.65	0.64	583	97.0
4514	6.2	0.65	0.64	583	97.2
不 排 出 氮 馏 份					
4560	5.6	0.60	0.59	474	92.0
4443	6.0	0.65	0.63	474	93.0
4560	6.0	0.63	0.61	237	93.5
4560	6.0	0.62	0.61	248	93.0

連接管排出氮馏份操作时所产生的氮損耗。与不将主要冷凝器中的气态氮送入冷路的设备操作相比较，用敞式連接管而不排出氮馏份的设备操作时，氮产量增高 300米³/小时。茲将空分室的操作指标列于表 2。

用敞式連接管的空分室操作指标

表 2

按N ₂ 計生 产能力 (米 ³ /小时)	压 力 (大气压)			N ₂ 中O ₂ 的含 量 (厘米 ³ /米 ³)	鑄式热交换器 中O ₂ 的浓度 (%)
	下塔中	主要冷凝器中	輔助冷凝器中		
排出氮馏份					
4964	6.2	0.65	0.64	821	97.0
4964	6.2	0.65	0.64	970	97.3
4964	6.2	0.65	0.64	1411	97.1
5168	6.2	0.65	0.64	1411	97.0
5075	6.2	0.65	0.64	1411	97.0
4964	6.0	0.65	0.64	1675	97.0
4964	6.0	0.65	0.63	1100	97.0
4964	6.0	0.65	0.63	708	96.8
不 排 出 氮 馏 份					
5520	6.2	0.65	0.64	1107	95.0
5434	6.2	0.65	0.64	948	96.5

空气压缩机的生产能力限制了空分室負載量的提高。为了提高

压缩机的生产能力，曾把吸入线路上的空气压力从40毫米水银柱提高到120毫米水银柱。这样当压缩机生产能力为6800米³时，能把空分室的生产能力提高到5400~5500米³/小时（每米³氮中含氧1000厘米³）。因为在大多数情况下全部设备都同时操作，由于缺乏空气鼓风机便不能提高空气压缩机吸入线路上的压力。这时无需使用连接管了。

过去，氧以人工（用桶盛）排出；现在在辅助冷凝器底板的水平上安装了一只总管，将氧排出。

空分室按原流程操作时，上下塔填充物的净截面被设备内生成的碳酸盐堵塞。用水及二氯乙烷洗涤设备，虽然设备上的油能完全洗去，但仍不能得到应有的效果。由于设备先用水洗涤、然后用二氯乙烷洗涤，所以被油蒙盖的盐类不能溶解于水，而且用二氯乙烷洗涤后亦不能除去。

空分室采用如下洗涤方法时获得了良好效果。将塔放置成倾臥状态，这样液体便不会从溢流管流出。然后再将下塔填料浸入槽中并用温水（温度75~80°C）洗涤。将上塔接管用盲板封住，然后依次用水、二氯乙烷，然后再用2%醋酸或蚁酸溶液、温水、冷水洗涤全塔，最后又用二氯乙烷洗涤以彻底清除水蒸汽以防止铜被氧化。

由于采取了上述各项措施，T-6800空分室的生产能力达每小时4500~4800标准米³氮。

根据使用深冷设备的长期经验，可得出如下结论：T-6800空分室的操作条件极其稳定。但生产能力不足是这种空分室的一个缺点。

本文作者正在研究用环状塔板代替现有网状塔板的方法并拟定高压空气输送流程。打算将高压空气不送至第7块塔板上，而送入蒸发器槽中，蒸馏液则送到上塔的第14块塔板上。

采取这一措施，空分室的生产能力至少可提高15%，同时氧浓度亦可提高。这样既能提高氮的提取率，又可提高设备出口处氮的纯度。

氣体的淨化

硫酸生产廢气在无填充物吸收器內的淨化

H.A. 哥耳德別爾格 (氯素工业研究設計院)

M.I. 卡擴契次 (微尔諾列阡化工厂)

H.A. 哥耳德別爾格提出的清除塔式法硫酸生产废气中酸雾、酸沫以及氮氧化物的方法，已进行了中間試驗。

根据此法，废气在《圓盤-噴嘴》型无填充物臥式吸收器內用中和这种气体的方法进行淨化。

为了驗証本法，設計、安装并試驗了中間試驗装置（图1）。該装置試用了碳酸鈉、苛性鈉、石灰乳、浓硫酸及氨水（尿素生产废料）等吸收溶液。

吸收溶液在带有搅拌器8的鋼制貯槽4中制备，制妥后用离心泵6送入收集槽3，再用离心泵7从收集槽3送入薄膜式吸收器1的各个噴嘴中。气体就在該吸收器內进行淨化。

薄膜式（无填充物）吸收器安装成具有不大的倾斜度，借此使吸收溶液能自动流过液封进入收集槽3，然后再用离心泵7送往吸收器1的各个噴嘴。塔酸車間的废气从气体行程上最后一只塔的烟道中排出后，通过旋风分离器5，在器5中应捕收硫酸雾沫，接着气体便进入薄膜式吸收器。

为了防止吸收溶液的雾沫被带入大气，将淨化后的气体通过一只与吸收器直接連接的鋼制雾沫分离器2。雾沫分离器內衬两层聚异丁烯板。分离器中捕收的液体流入收集槽3。

薄膜式吸收器系焊接的臥式圓柱形裝置（直径 620 毫米，长 6250 毫米），用Cr·3 鋼板制成，內衬两层聚异丁烯板，有12个孔，孔蓋上共装有24只噴嘴。噴嘴的结构如图2所示。孔蓋上焊接管2和加强肋8。管2下部焊接两只磨光的噴嘴5和底板9。每只噴嘴